

H27.4.13分

教科書

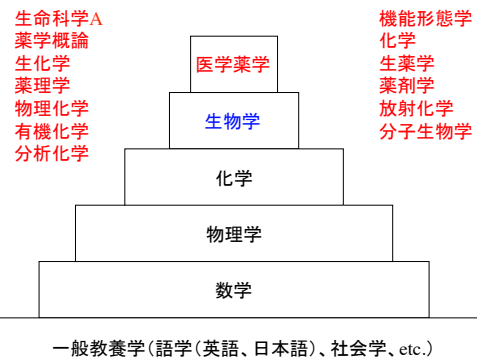
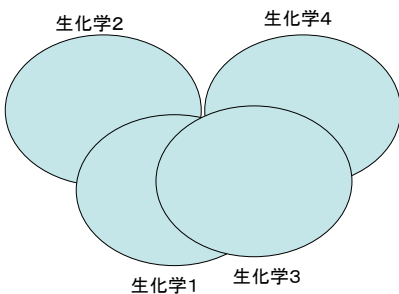
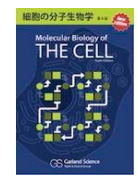
- Essential細胞生物学
南江堂
中村桂子、松原謙一



- ベーシック薬学教科書シリーズ 8生化学
化学同人
中西義信編



- Molecular Biology of the Cell 6th edition
Garland Publishing, Inc.
生命科学分野の世界標準テキスト



ものの大きさ

陽子 → 原子 → 低分子 → 高分子
 → オルガネラ → 細胞 → 臓器 → 個体
 → 家 → 町 → 仙台 → 宮城県
 → 日本 → 地球 → 太陽系
 → 銀河 → M78星雲 →

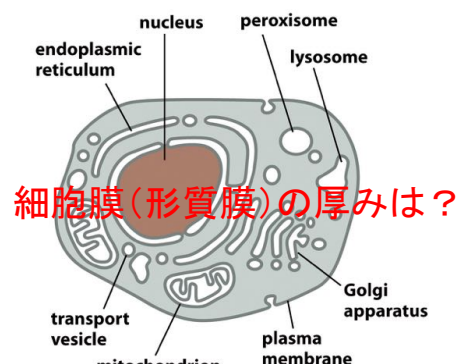


Figure 11-3 Essential Cell Biology (© Garland Science 2010)

50 μm : 5 nm

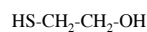
= 10 m : X

X = 1 mm

タンパク質の変性

2-メルカプトエタノールと尿素

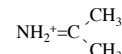
2-メルカプトエタノール(2-ME)



尿素(Urea)



ゲアニジウムイオン



未変成状態

変成状態

未変成状態

H27.4.20, 27分

タンパク質の高次構造は**1次構造**で決定されるのか？

タンパク質の構造は常に一定か？

タンパク質はどれくらい似ていれば(相同性があれば)似た高次構造をとるのか？

→ タンパク質全体に渡り**30%**以上のアミノ酸の相同性があれば、そつくりな高次構造を持つことが知られています。30%以下の相同性でも似ている場合は多くあります。

タンパク質の構造の4階層

1次構造：アミノ酸の配列

2次構造：数10アミノ酸からなる局所的な高次構造
αヘリックス、βシートなど

3次構造：2次構造の集合によるタンパク質**1分子**の高次構造

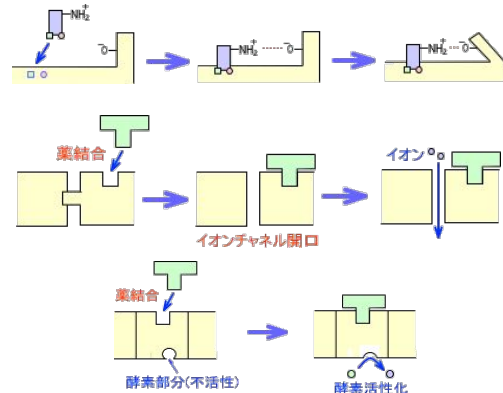
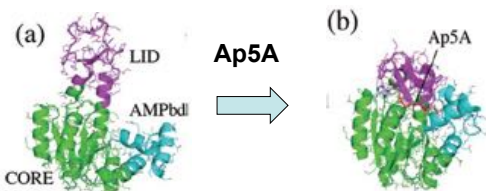
4次構造：**複数**のタンパク質分子の集合体が作る構造

1次構造

NH₂ 1 MSSVQSQEQLSQSDPSPSPNCSSEFELIDMDAGSLYEPVSPHWF
YCKIIDSKEIWIFNSEDSSQLEEAAYSGKGCGNGRVPDGGRYDVHLGER
MRYAVYWDELASEVRRCTWYKGDKDNYVVPYSESSSQLEETYMLAVTLD
EWKKKLESPNREIIILHNPKLMVHYQPVAGSDGWGSTPTEQGRPRTVKRGV
ENISVDIHCGEPLQIDHLVFFVHIGPACDLRFRSIVQCVNDFRSVSLNLL
QTHFKKAQENQQIGRVEFLPVNWHSPLHSTGVFDLQRITLPSINRRLRHFT
NDTILDVFFYNSEPTYCQTIVDTVASEMNRIYTTLFLQRNPDFKGGSVIAHGS
LGSLILFDILTQNQDKDSLGDIIDSEKDSLNVIMYQGDPTTLEEDLKKLQLSEF
FDIFKEKEVDKEALALCTDRDLQEIGIPLGPRKKILNYFSTRKNSMGIKRP
APQPASGANIPKESEFCSSSNTRNGDYLDVGIGQVSVKYPRLIYKPEIFFA
FGSPGIGMFLTVRGLKRIDPNYRFPPTCKGFFNIYHPFDPVAYRIEPMVPGV
EEFPEMLIPHHKGRKRMHLELREGILTTRMSMDLKNNLLGSLRMAWKSFTRAY
PALQASETPEETEAEPESTSEKPSDVNTTEETSVAVKEEVLPINVGMNLNGQ
RIDYVLQEKPIESFNEYLFALQSHLCYWESEDTVLLVLKEIYQTQGIFLDQ
PLQ 711 COOH

多くの薬物はタンパク質の構造を少し
だけ変化させる

ジアデノシン5'リン酸はアデニル酸キナーゼの
構造を変化させる



コンフォメーション病(フォールディング病)

タンパク質が誤ったコンフォメーションをとることにより生じる病気

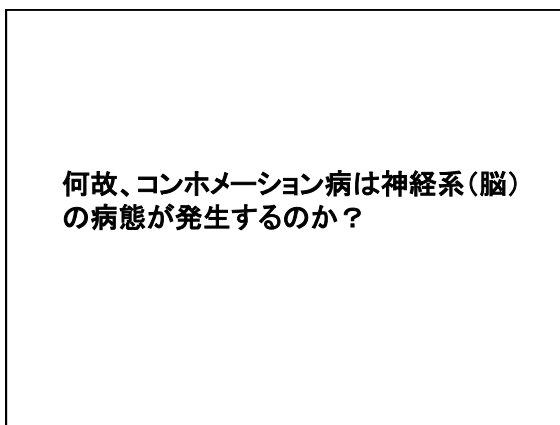
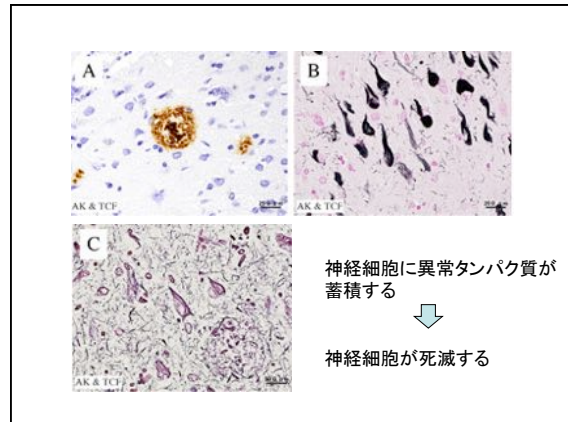
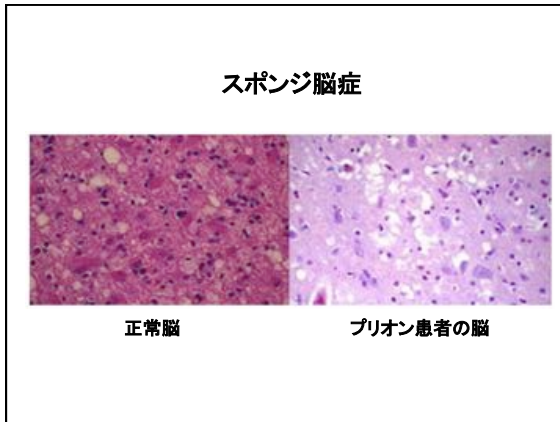
(例)
アルツハイマー
プリオントン病

アミロイド(タンパク)が蓄積

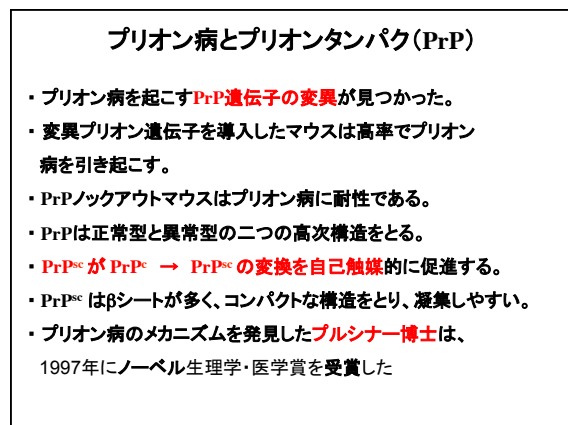
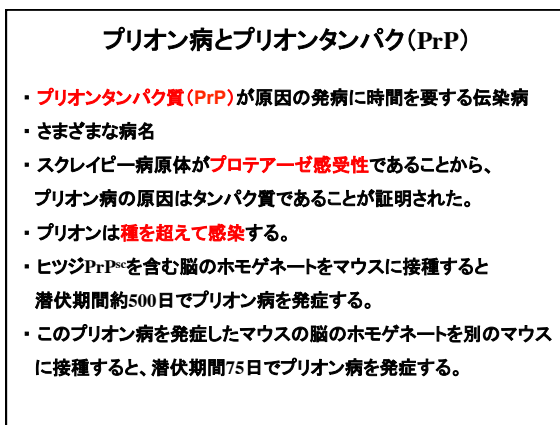
(例)
A_βタンパク質、プリオントンタンパク質

豚丼がどうして誕生したか？





ヒト	偶発性 プリオ ン病	クールー	ハブリニューギニアの山岳地方の住民であるFore族の女性や子供を中心に見られた小脳性的歩行障害と振戦を特徴として、進行性に経過して発症後一年以内に死にする疾患です。患者は発熱せず、炎症所見も示さず、病理学的には小脳を中心とした線状変性・アソロクリジの増生、アミロイド斑がみられます。Fore族では女性や子供が死んでしまう現象や筋肉を食べる様式(カルバニズム)があつたこと、また人間を食べる習慣の消滅とともにこの疾患がなくなったことから、人肉を食べる習慣で感染したと考えられます。
		クロイトヘルツ-ヤコブ病(CJD)	世界で約40歳の100万人にかかるといわれる、人の脳内で発生します。痴呆ややそわからくる痙攣を起こします。これらに海綿状変性があります。夜間移動で感染したものは医原性ヤコブ病と呼ばれています。
		変異型クロイトヘルツ-ヤコブ病(vCJD)	ヨーロッパで最近100名以上が発症したCJD類似の疾患。CJDよりも若い人が罹患しています。発症すると数週間から数ヶ月で死んでいます。96年に英国で発生が始まりて確認されました。BSEとの関連が疑われています。
		致死性家族性不眠症 GSS	CJDやBSEとは別の疾患で、米国クロイトヘルツ-ヤコブ病で1980年代でみつかりました。イタリア一家にかかる常染色体優性遺伝性プリオントン病です。発症年齢は40-60歳代ですが30歳代の発症もあります。
ヒツジ ヤギ	スクレーピー		神に牛をこすりつける(corsica)ところから名づけられました。英国や西ヨーロッパで16世紀ごろから知られている羊の病気で、最初過敏、震戻、最後の能力が失ひ、数ヶ月～数年で死んでる病気です。日本でも、発病が確認されています。
ウシ	牛海绵状脑病(BSE)狂牛病		15年前に英で確認されたウシのプリオントン病。狂牛病はモデル牛��(cow mad cow disease)の和名で正式にはウシ海绵状脑病(bovine spongiform encephalopathy)です。症状はスクレーピーに類似しています。英國をはじめヨーロッパ各地で10万頭以上が死んでいます。日本では1993年に最初の狂牛病が確認されました。狂牛病は牛の免疫力を弱めたり牛牛に免疫促進のためにウシやヒツジの角、骨などを利用に適せる習慣があったためと考えられています。変異型クロイトヘルツ-ヤコブ病(vCJD)との関連が疑われています。日本では2001年9月に確認されています。
ネコ、トラ ピューマ、 データ	猫海绵状脑病		



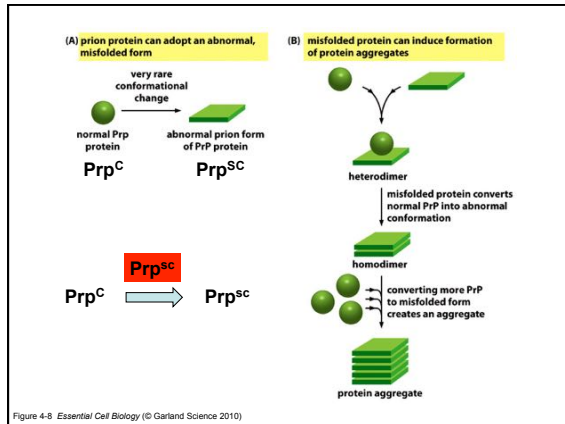
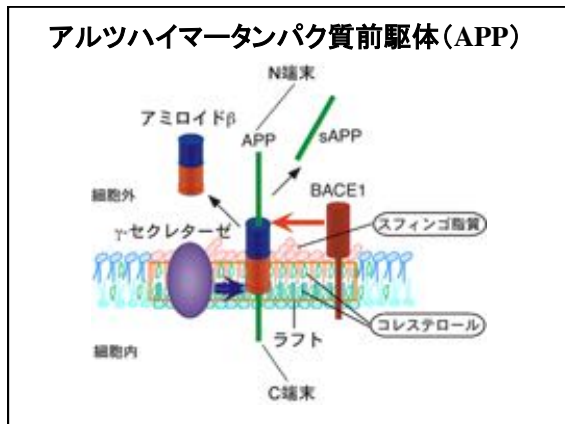
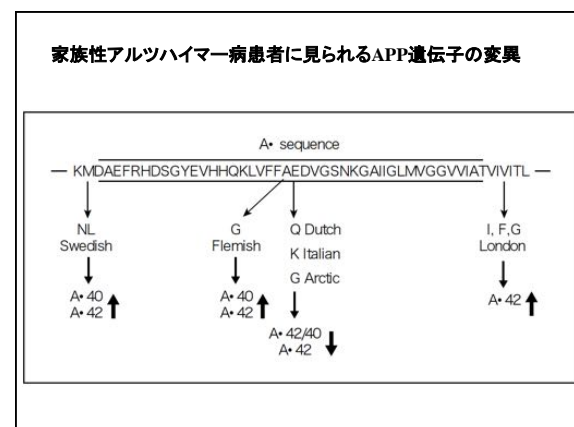
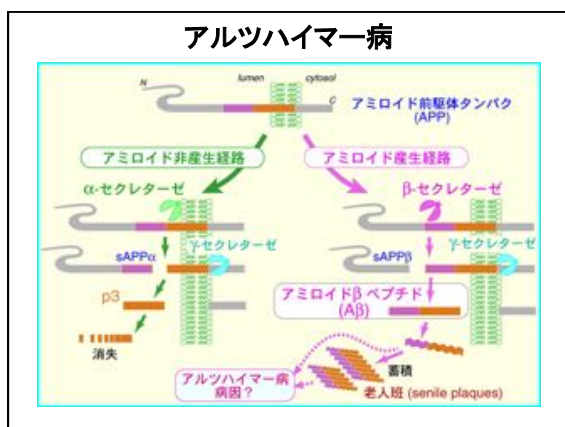
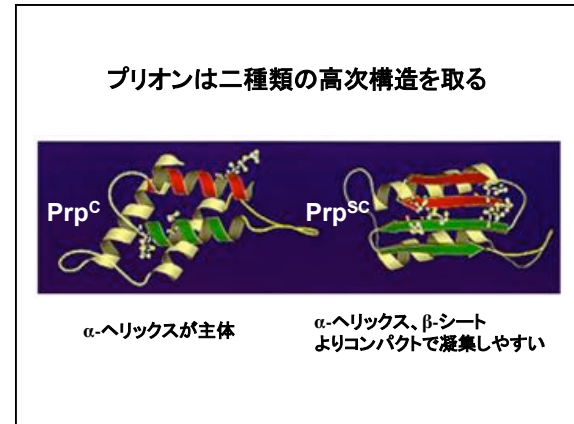


Figure 4-8 Essential Cell Biology (© Garland Science 2010)

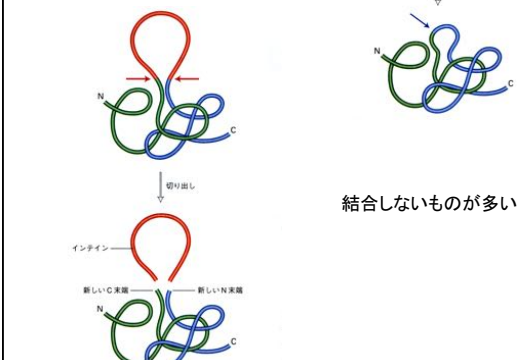


H27.5.11分

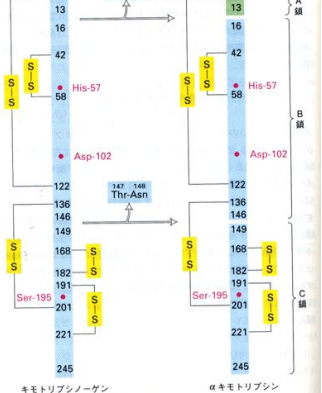
タンパク質の翻訳後修飾

- ・ 切断、再結合
- ・ ジスルフィド結合
- ・ 分子の付加
 - リノ酸化
 - アセチル化
 - ユビキチン化
 - 酸化
 - 糖鎖付加
 - 脂質付加など

タンパク質のスプライシング



タンパク質の修飾の例



アセチル化

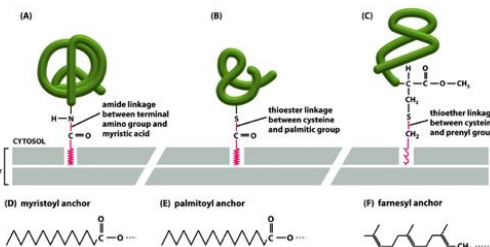
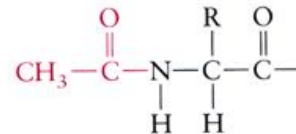
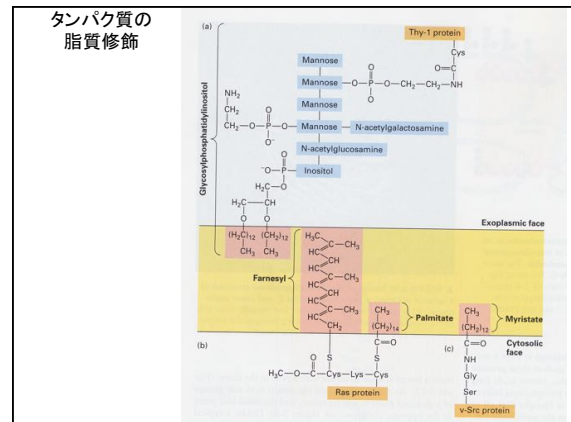
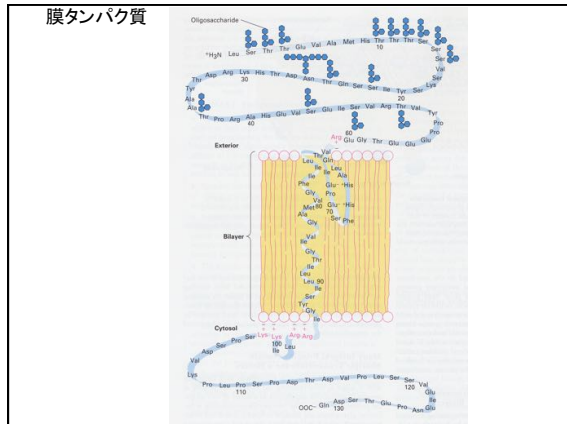


Figure 10-20 Molecular Biology of the Cell (© Garland Science 2008)

タンパク質の脂質修飾



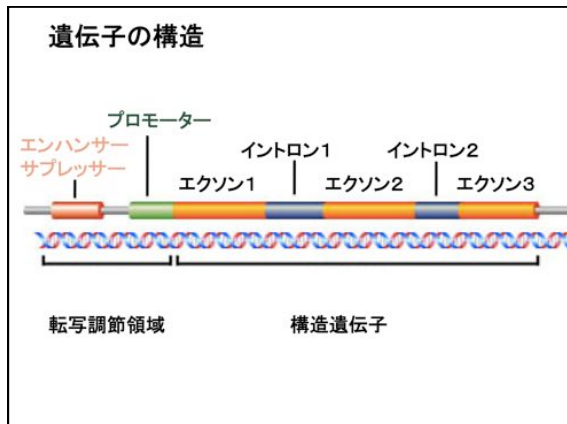
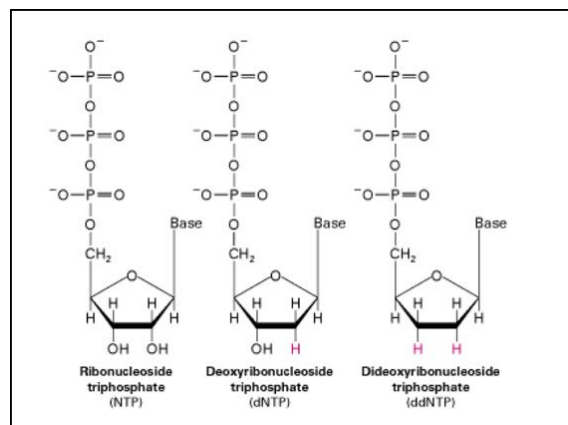


タンパク質のアミノ酸の相同性

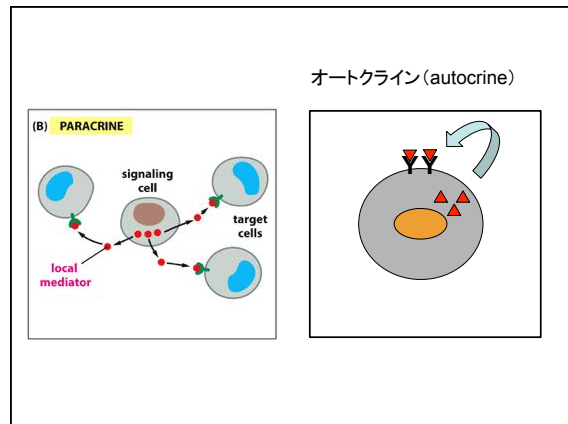
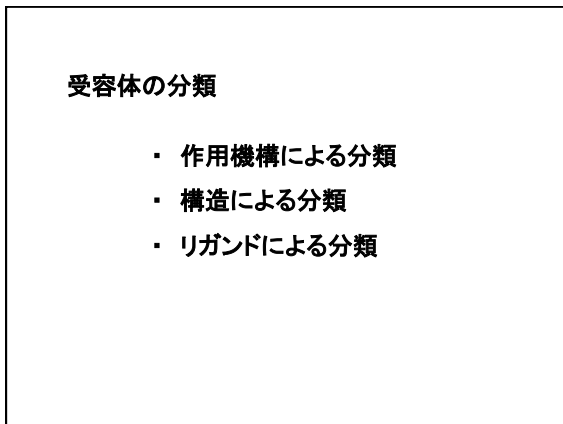
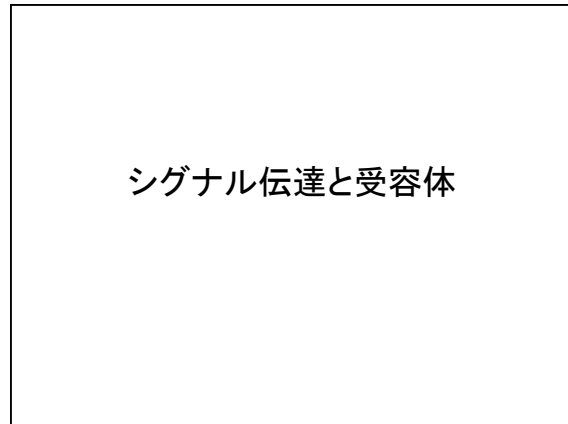
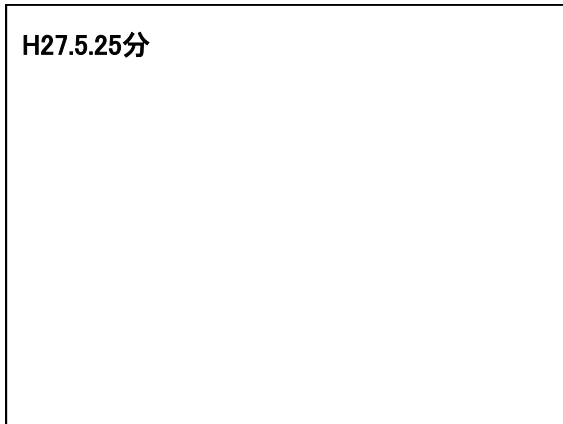
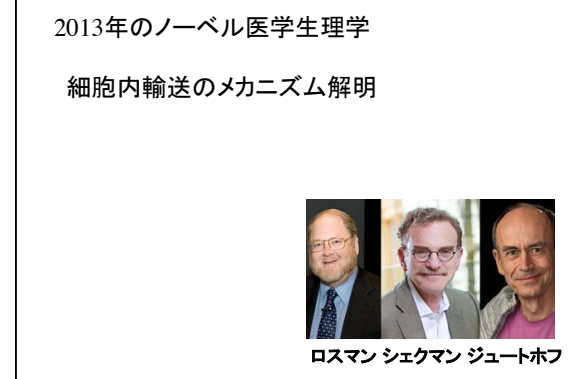
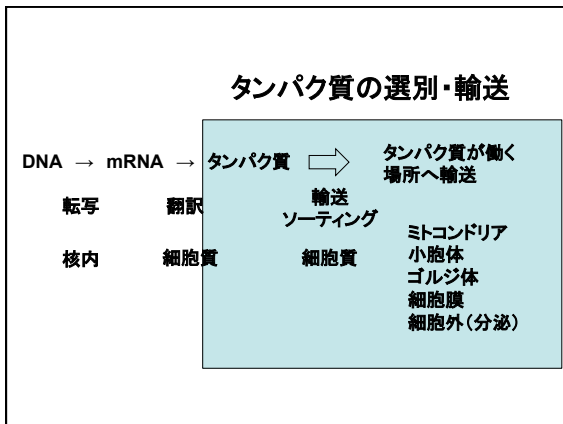
タンパク質のアミノ酸の相同性

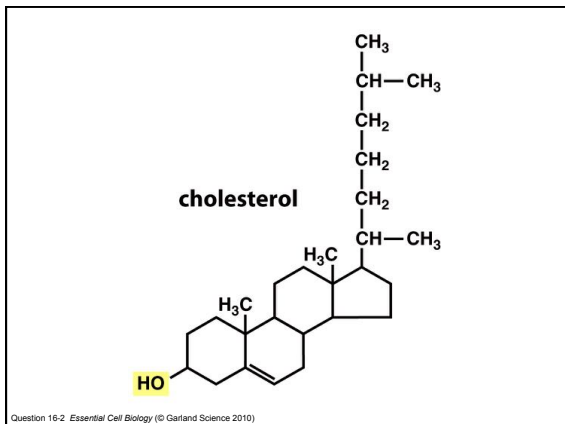
The figure displays sequence alignments for four groups of PLAK proteins: PP-PLAK, PD-PLAK, PD-PLAK, and PD-PLAK. Each group includes full-length proteins (PLAK1, PLAK2, PLAK3, PLAK4) and their respective isoforms (PLAK1B, PLAK2B, PLAK3B, PLAK4B). The alignments are color-coded by domain: N-terminal (light blue), PP-loop (yellow), PD-loop (orange), LID domain (green), and C-terminal (dark blue). Conserved amino acids are highlighted in black, while non-conserved or gaps are shown in white. The x-axis at the bottom indicates the position of each amino acid residue.

Group	Protein	Length (aa)
PP-PLAK	PLAK1	988
	PLAK1B	988
	PLAK2	988
	PLAK2B	988
	PLAK3	988
	PLAK3B	988
	PLAK4	988
	PL	988
PD-PLAK	PLAK1	988
	PLAK1B	988
	PLAK2	988
	PLAK2B	988
	PLAK3	988
	PLAK3B	988
	PLAK4	988
	PL	988
PP-loop		
LID domain		
PD-PLAK	PLAK1	988
	PLAK1B	988
	PLAK2	988
	PLAK2B	988
	PLAK3	988
	PLAK3B	988
	PLAK4	988
	PL	988
PD-loop		
LID domain		
PD-PLAK	PLAK1	988
	PLAK1B	988
	PLAK2	988
	PLAK2B	988
	PLAK3	988
	PLAK3B	988
	PLAK4	988
	PL	988
PD-loop		
LID domain		
PD-PLAK	PLAK1	988
	PLAK1B	988
	PLAK2	988
	PLAK2B	988
	PLAK3	988
	PLAK3B	988
	PLAK4	988
	PL	988



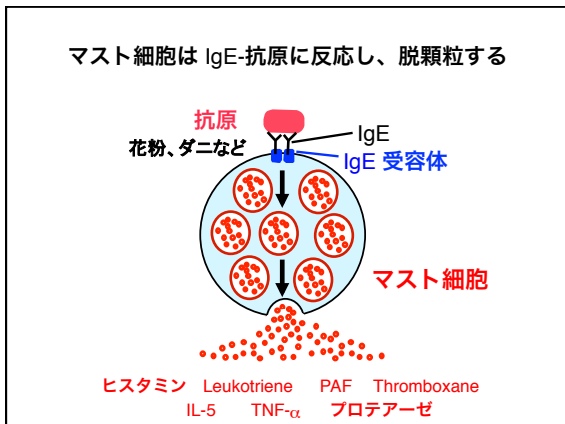
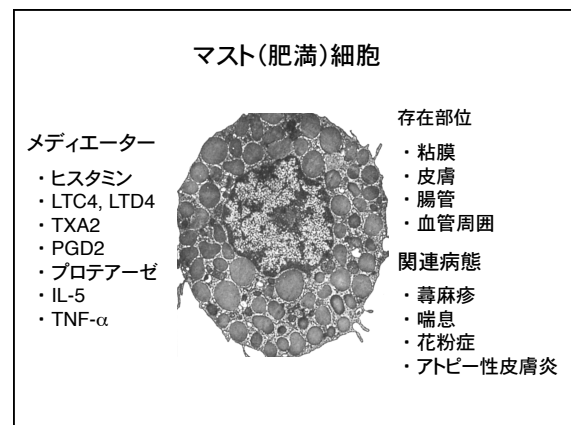
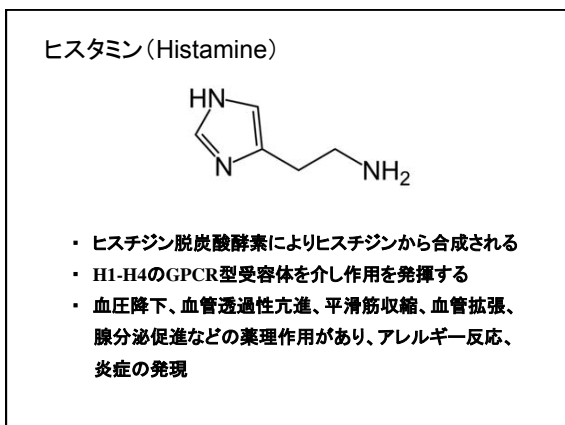
H27.5.18分





受容体の分類

- 作用機構による分類
- 構造による分類
- リガンドによる分類



H27.6.1分

免疫と抗体

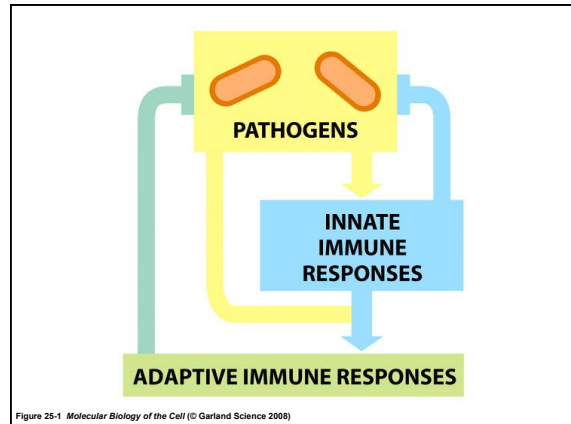


Figure 25-1 Molecular Biology of the Cell (© Garland Science 2008)

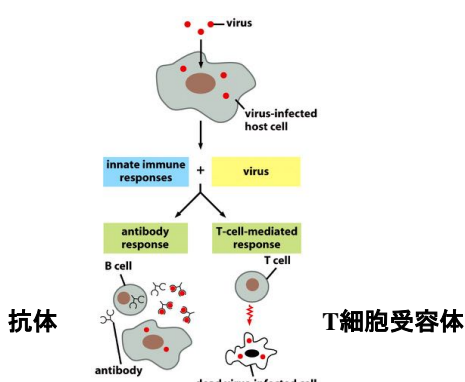


Figure 25-2 Molecular Biology of the Cell (© Garland Science 2008)

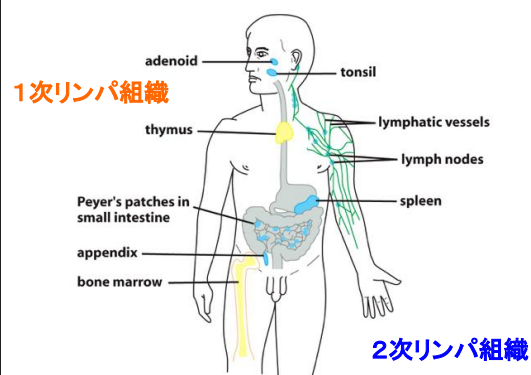


Figure 25-3 Molecular Biology of the Cell (© Garland Science 2008)

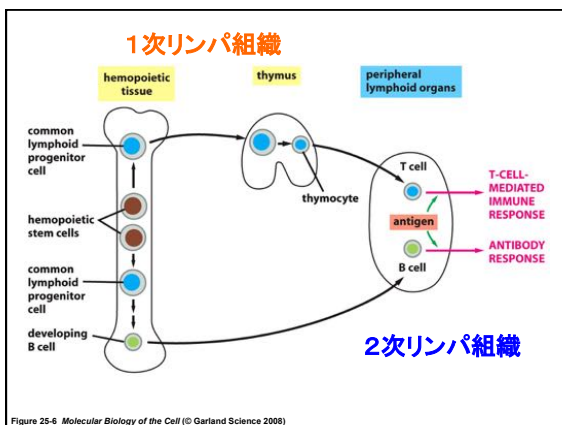


Figure 25-6 Molecular Biology of the Cell (© Garland Science 2008)

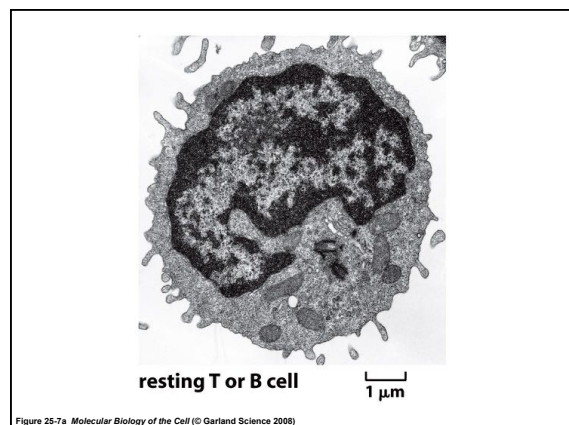


Figure 25-7a Molecular Biology of the Cell (© Garland Science 2008)

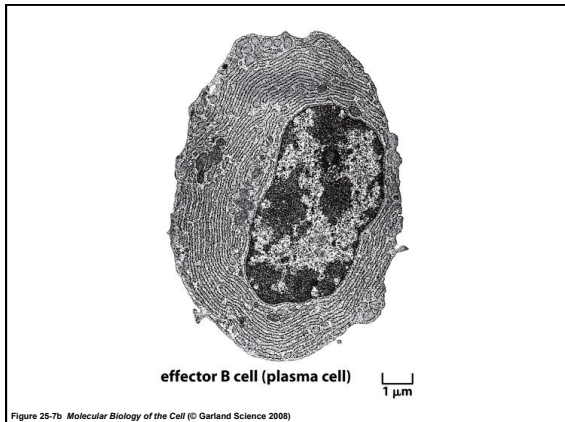


Figure 25-7b Molecular Biology of the Cell (© Garland Science 2008)

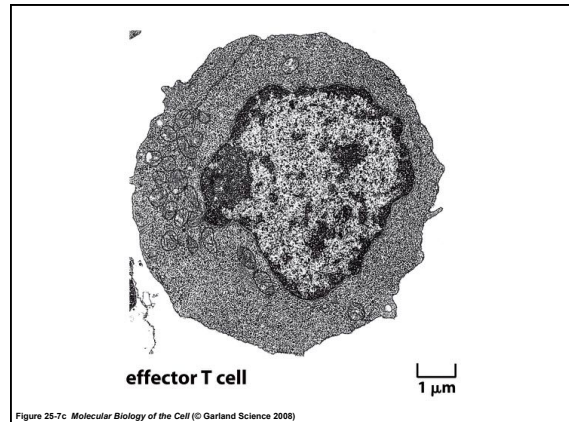


Figure 25-7c Molecular Biology of the Cell (© Garland Science 2008)

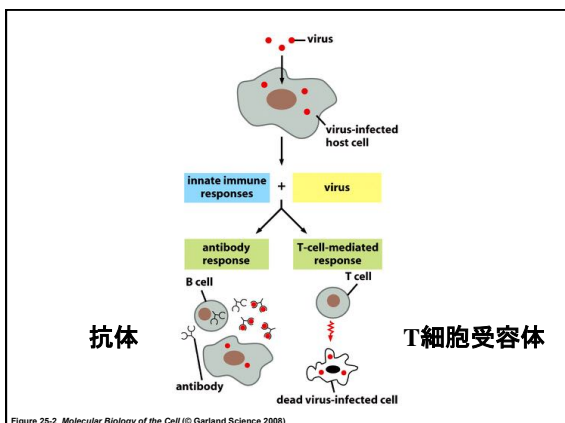


Figure 25-2 Molecular Biology of the Cell (© Garland Science 2008)

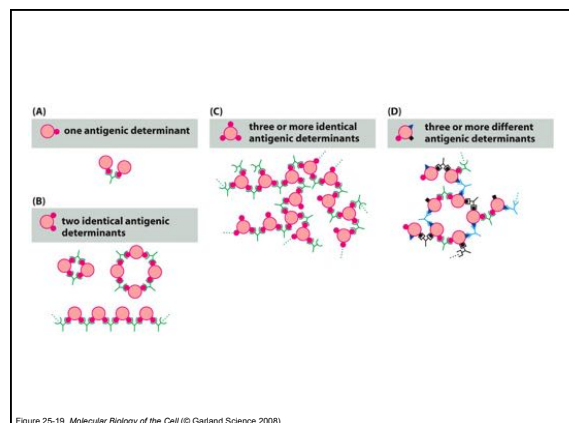


Figure 25-19 Molecular Biology of the Cell (© Garland Science 2008)

抗体のサブクラス

Table 25-1 Properties of the Major Classes of Antibodies in Humans

PROPERTIES	CLASS OF ANTIBODY				
	IgM	IgD	IgG	IgA	IgE
Heavy chains	μ	δ	γ	α	ε
Light chains	κ or λ	κ or λ	κ or λ	κ or λ	κ or λ
Number of four-chain units	5	1	1	1 or 2	1
Percentage of total Ig in blood	10	<1	75	15	<1
Activates complement	++++	-	++	-	-
Crosses placenta	-	-	+	-	-
Binds to macrophages and neutrophils	-	-	+	-	-
Binds to mast cells and basophils	-	-	-	-	+

Table 25-1 Molecular Biology of the Cell (© Garland Science 2008)

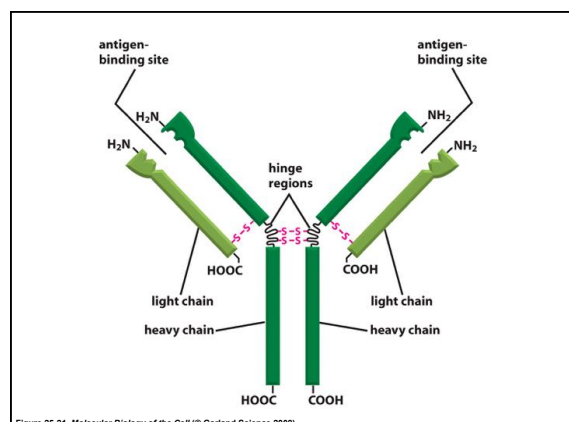
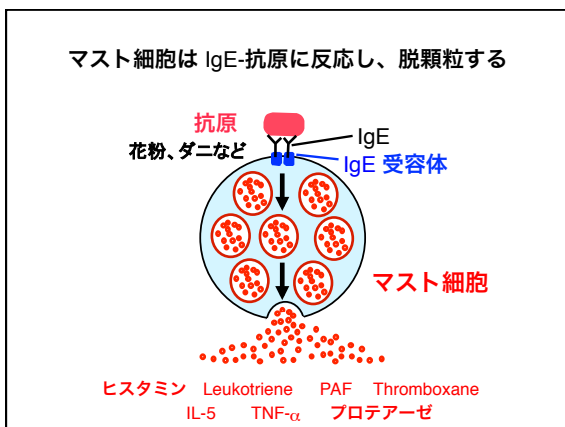
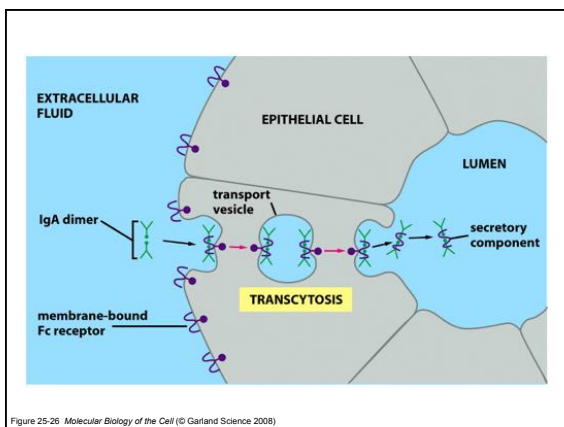
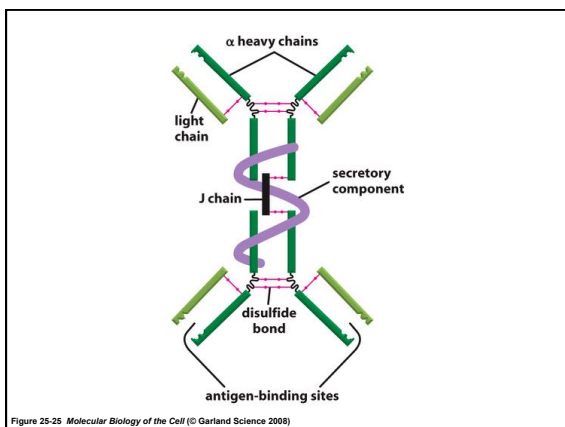
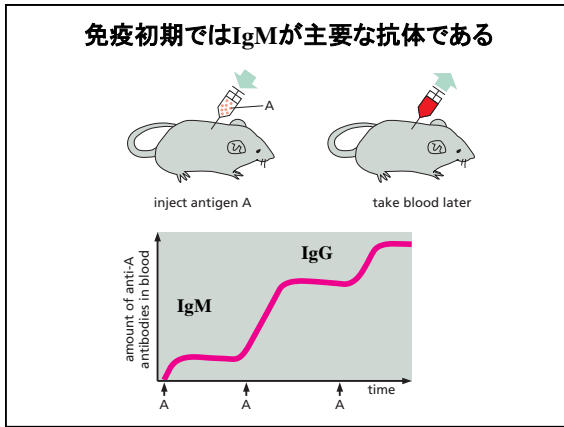
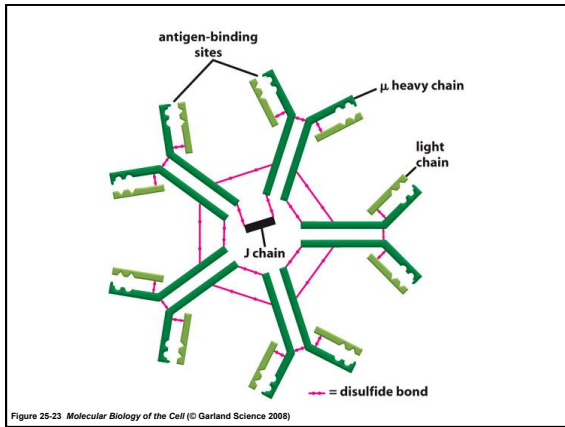


Figure 25-21 Molecular Biology of the Cell (© Garland Science 2008)



化合物薬と抗体医薬の比較		
分子量	化合物薬 300-800 Da GPCR, 酵素、イオンチャネル等	抗体医薬 150,000 Da
標的分子	異なる2つの標的	ほぼすべての標的
スクリーニング	ランダムスクリーニング	十分に可能
親和性、特異性	中程度	mAbの作製、ヒト化極めて高い
エフェクター機能	なし	細胞障害活性極めて高い
安全性	副作用のリスク	細胞障害活性極めて高い
半減期	数～数十時間	数週間
他薬物との相互作用	あり	なし
製造コスト等	安い	高い
薬価	安い	高い
臨床試験	見通しが立ち難い	比較的容易
投与経路	経口投与	注射剤

作用メカニズム
中和作用
ADCC (Antibody-Dependent-Cellular-Cytotoxicity) : 抗体依存性細胞傷害活性
CDC (Complement-Dependent Cytotoxicity) : 損傷依存性細胞傷害活性

標的疾患
・がん
・アレルギー
・感染症

表2 市販されている抗体薬及び臨床開発中の抗体薬の一例			
抗体薬	抗体の構造	抗体の標的抗原	主な治療疾患
新規ホモ抗原来	マウス型 IgG1 2a	T リンパ球の CD14 抗原	移植拒絶反応
ムコロイド CD3	キメラ IgG1 の Fab 断片	インテグリン αβ3/β3	心筋梗塞など血栓症
アブシリマブ	ヒト化 IgG1	IL-2 受容体 α 鎮(CD25)	移植拒絶反応
ダクリマブ	ヒト化 IgG1	B リンパ球の CD 20 抗原	非ホジキンリンパ腫
ワクシマブ	キメラ IgG1	IL-2 受容体 β 鎮(CD20)	移植拒絶反応
バクシマブ	ヒト化 IgG1	IgG	IGA1 タイプ過敏症
バイリマブ	ヒト化 IgG1	炎症性サイトカイン TNFα	炎症性サイトカイン阻害
イシクリキシマブ	キメラ IgG1	上皮癌細胞受容体 HER2	乳がん
トラスリキシマブ	ヒト化 IgG1	T リンパ球の CD 20 抗原	非ホジキンリンパ腫
イブリソマブ-チオキセチン	マウス型 IgG1-放射性同位元素 Y	CD20 抗原	非ホジキンリンパ腫
ゲムズマブ-オザキセチン	ヒト化 IgG1-放射性同位元素 Y	CD20 抗原	非ホジキンリンパ腫
アムリマブ	ヒト化 IgG1	CD20 抗原	非ホジキンリンパ腫
アダリムマブ	ヒト化 IgG1	炎症性サイトカイン TNFα	慢性リウマチ関節炎
オマリマブ	マウス型 IgG1 2a	IgE	喘息
トリミマブ-IL	マウス型 IgG1 2a	B リンパ球の CD 20 抗原	非ホジキンリンパ腫
エフリズマブ	ヒト化 IgG1	CD1a (LFA1 の α 頭)	乾癬
ペリマブ	ヒト化 IgG1	細胞増殖因子 VEGF	大腸がん
セトキシマブ	キメラ IgG1	上皮癌細胞受容体 EGFR	大腸がん
トリグリマブ	ヒト化 IgG1	IL-6 受容体	キャッスルマン病
フェニックスの治療抗体薬			
ベケセリマブ	ヒト型 IgG1 の scFv	補体 C5	心筋梗塞、動脈内血沈障害
エラリズマブ	ヒト化 IgG1	ヒリシタの CD 22 抗原	全身性エリテマトーデス
セキリマブ	ヒト化 IgG1	ESV 受容体	ESV 感染症
ニキリマブ	ヒト化 IgG1	EGF 受容体	腫瘍がんなどのがん
ラニビズマブ	ヒト化 IgG1	VEGF	加齢性黄斑変性
イビリマブ	ヒト型 IgG1	T リンパ球の CTLA-4	悪性黒色腫
オファリマブ	ヒト型 IgG1	IL-2 受容体 α 鎮(CD25)	免疫チェックポイント
パリマブ	ヒト型 IgG1	EGF 受容体	大腸がん、非小細胞肺がん
COP-070	ヒト型 IgG1	TNF	間質性リウマチ
ラーゲリマブ	ヒト型 IgG1	TGF-β2	線維肉芽腫
AIXHL1.8	ヒト型 IgG1	IL-8	乾癬、COPD
XTL-001	ヒト型 IgG1 2 本の合併	II 型肝炎ウイルス	II 型肝炎ウイルス感染症
Anisomab	ヒト型 IgG1	黄色ブドウ球菌	メタリシン耐性細菌感染

図1 マウス由来モノクローナル抗体からヒト由来モノクローナル抗体へ

品名レオプロ)は、血小板上のインテグリンに対するマウス Mab の可変領域を有するキメラ抗体であり、血栓

注目される抗体医薬PD-1, PD-L1
<p>通常、PD-1とPD-L1が結合することでT細胞の「活性化」が遮断される（赤色の箭頭）が、その結合を遮断することで活性が活性化する（緑色の箭頭）。</p>

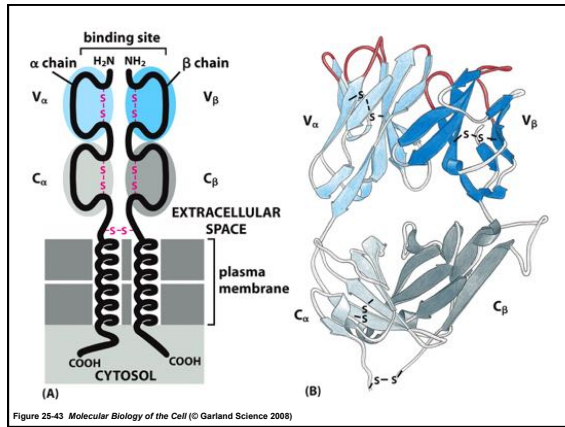


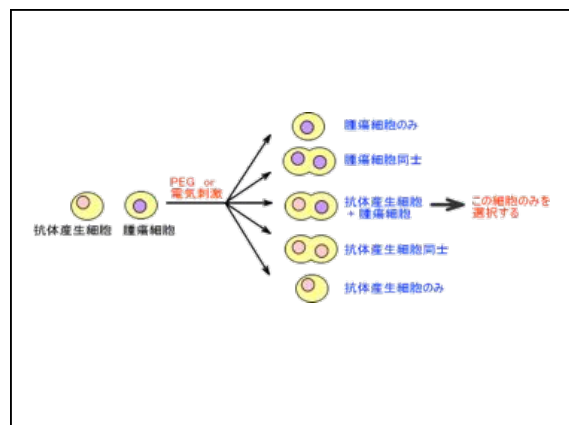
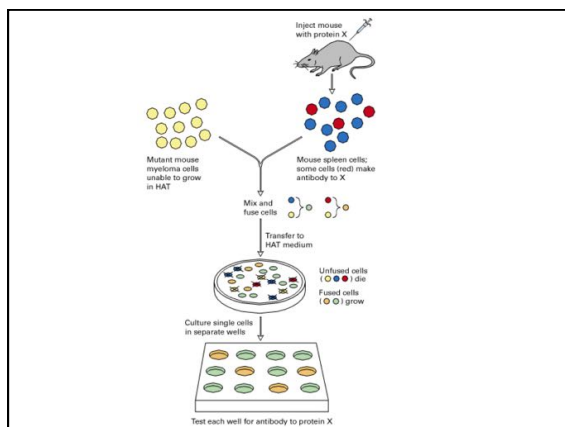
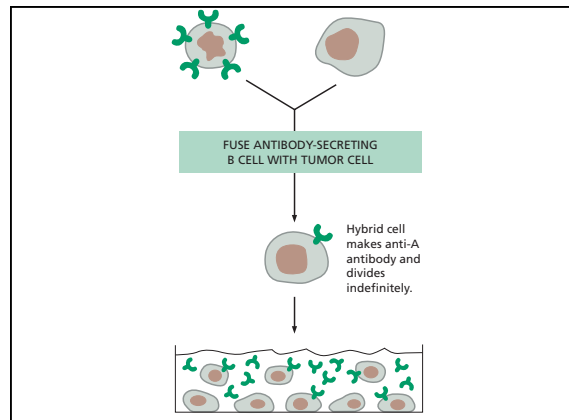
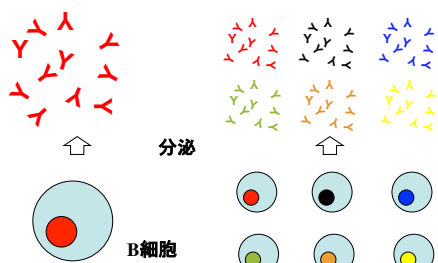
Figure 25-43 Molecular Biology of the Cell (© Garland Science 2008)

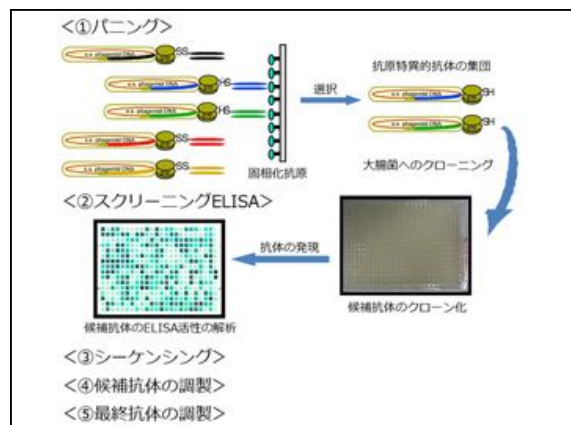
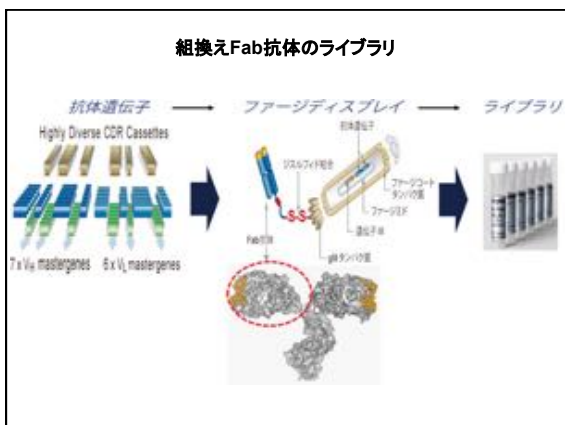
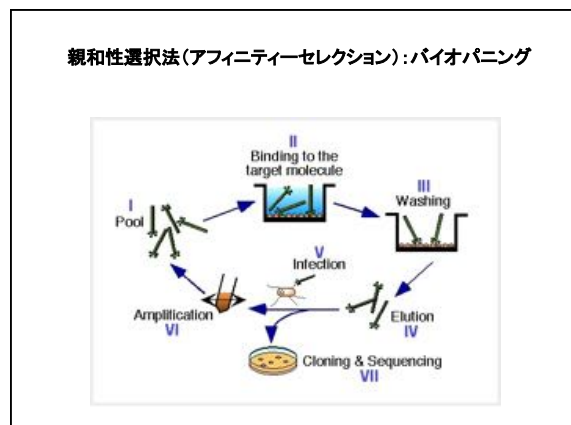
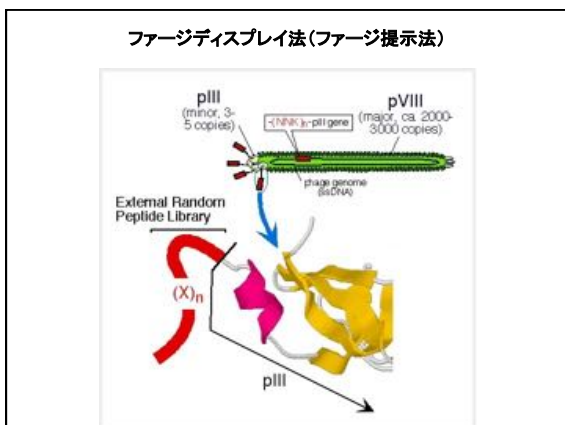
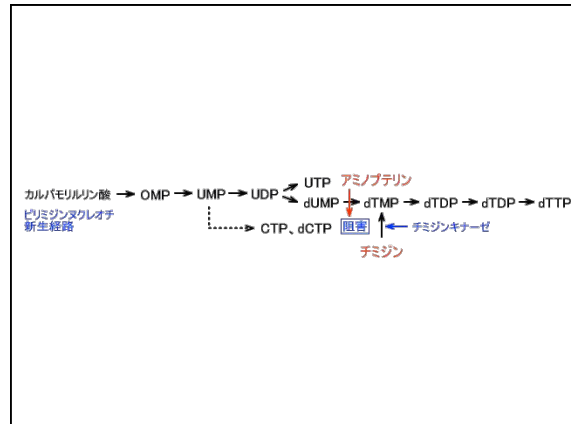
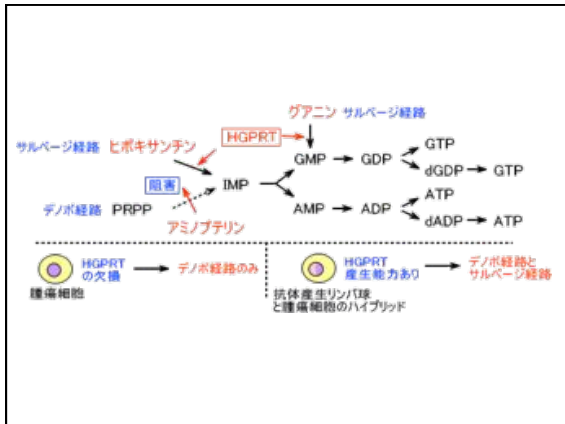
モノクローナル抗体を作る

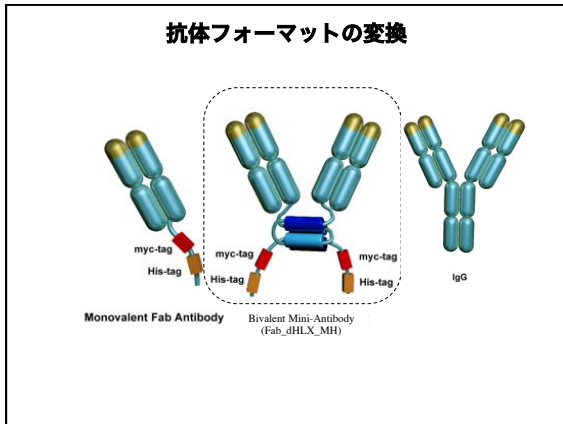
- ・ 細胞融合法
- ・ ファージディスプレイ法

モノクローナル抗体とポリクローナル抗体

1つのB細胞は一種類の抗体を作る







H27.6.8, 15分

タンパク質を解析する

⇒ 我々は何が知りたいのか？

知りたい内容によって手法が異なる

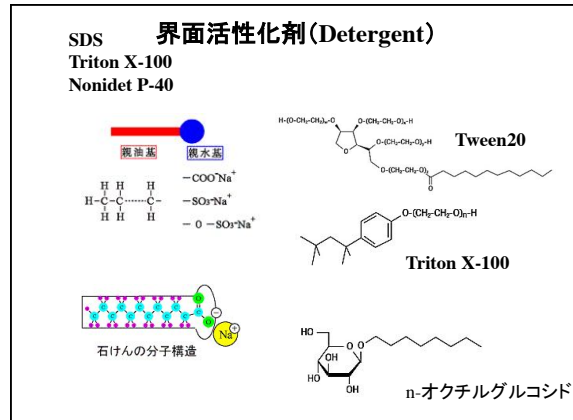
- ・ タンパク質の1次構造が知りたい
- ・ タンパク質の高次構造が知りたい
- ・ タンパク質を精製したい
- ・ タンパク質がどこに(組織レベル・細胞レベル)発現しているか知りたい
- ・ タンパク質の機能・働きを知りたい
- ・ タンパク質を大量に得たい

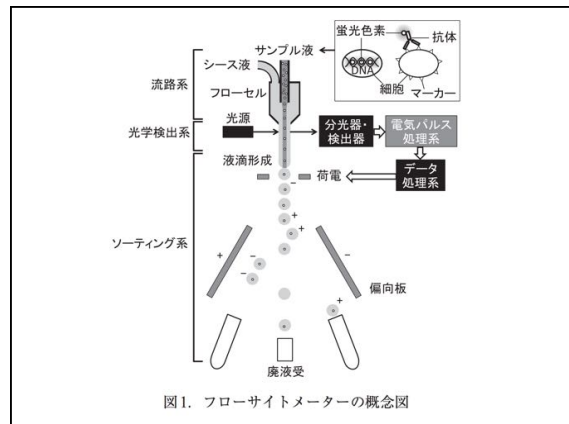
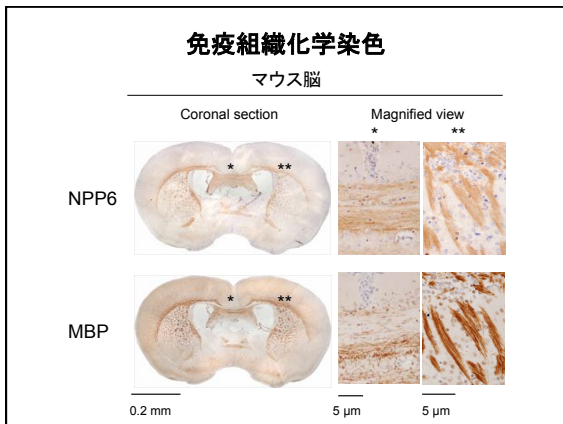
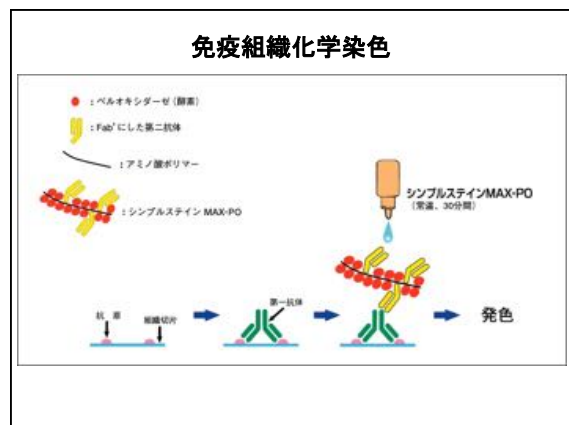
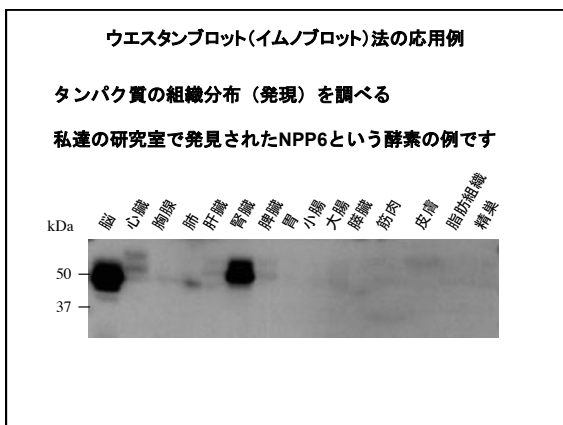
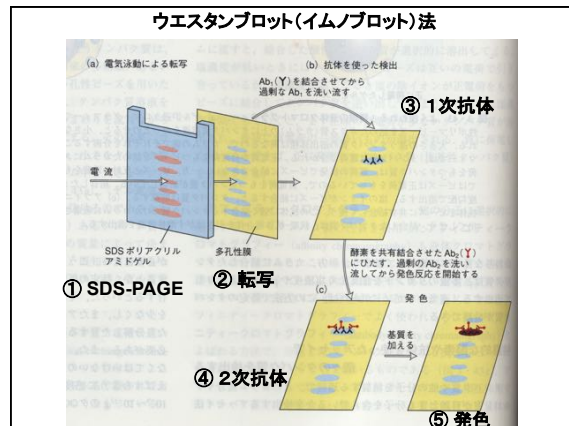
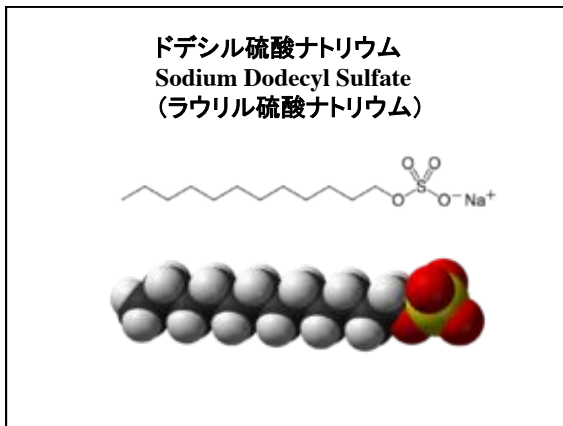
タンパク質を解析する手法

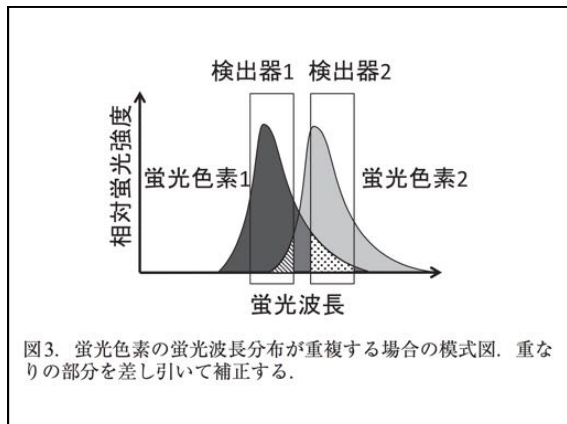
SDS-PAGE
(SDSポリアクリルアミド電気泳動)
等電点電気泳動

Western blot(ウエスタンブロット)

免疫組織染色・フローサイトメトリー

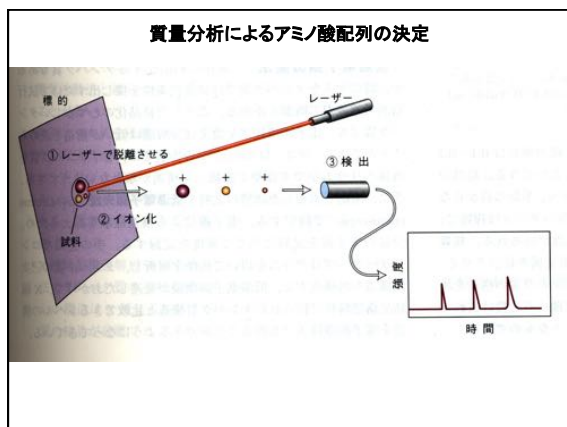
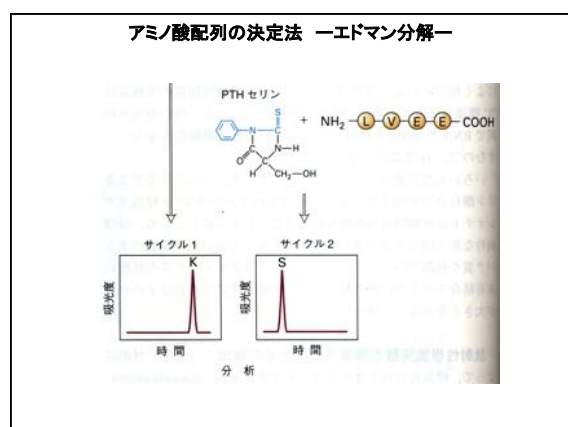
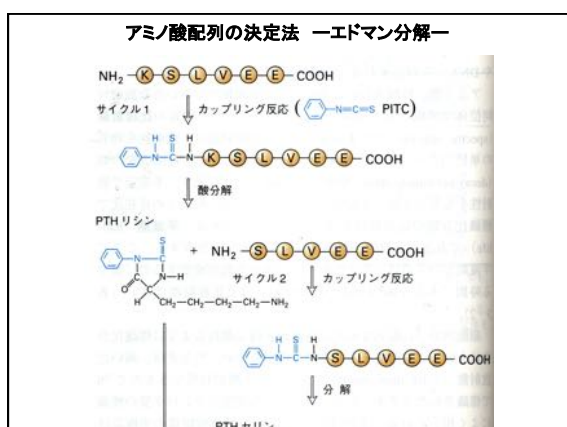






タンパク質を解析する手法

- エドマン分解・質量分析法
- X線構造解析・NMR



H27.6.29, 7.6分

タンパク質を操る遺伝子操作

タンパク質を操る遺伝子操作で何ができるか

- ・ タンパク質を細胞や動物個体に作らせることができる
 - リコンビナントタンパク質
 - タンパク質発現細胞の作製
 - トランスジェニック動物の作製
- ・ 動物個体でタンパク質がどこに存在するか調べることができます
- ・ タンパク質に任意の変異を導入することができます
- ・ 遺伝子ノックアウト細胞、動物を作製することができます

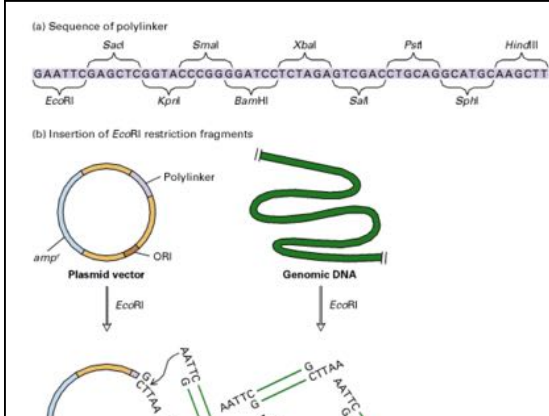
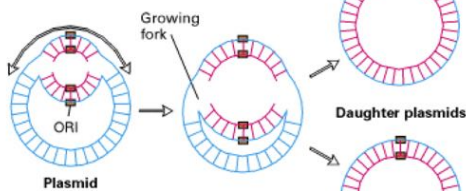
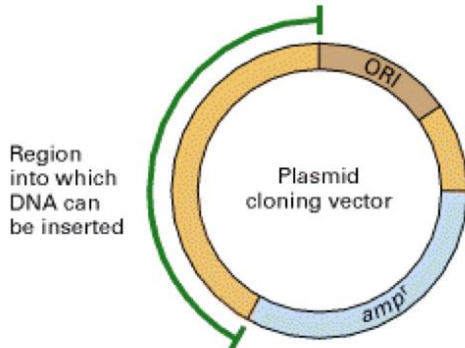
タンパク質を細胞や動物に発現させる

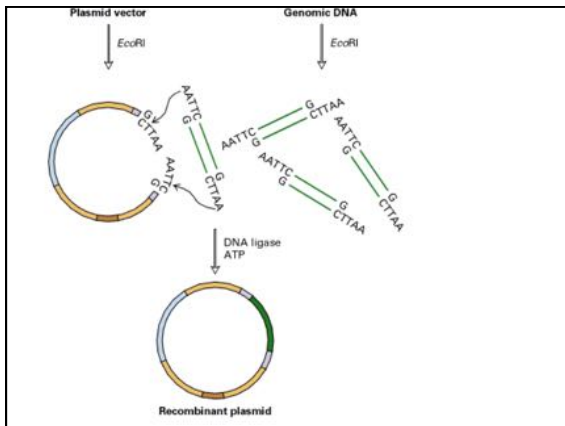
例1

ある受容体GPCRに対する作動薬を見つけるために、細胞に受容体を発現させる。

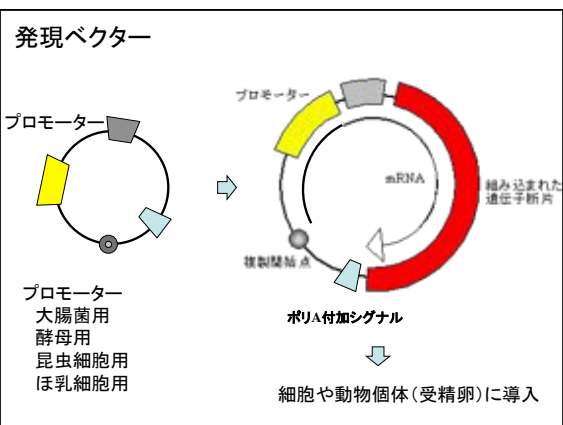
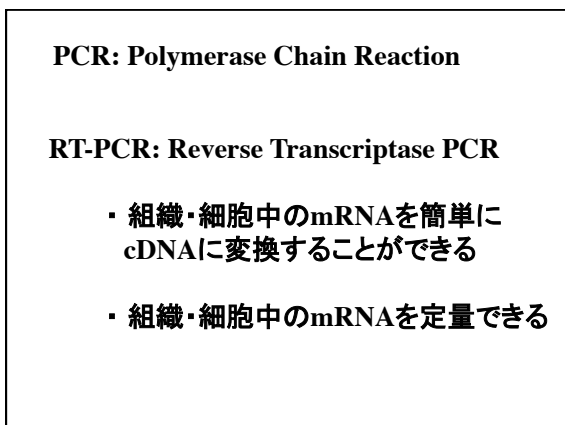
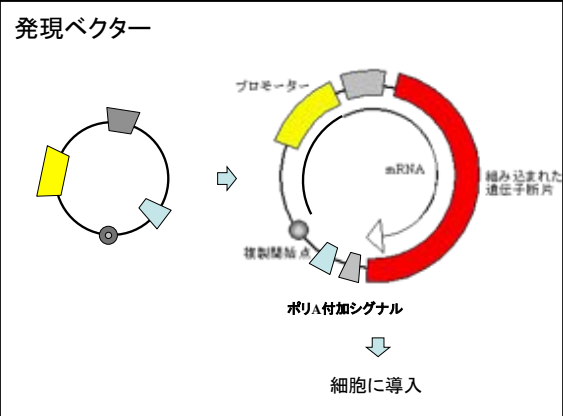
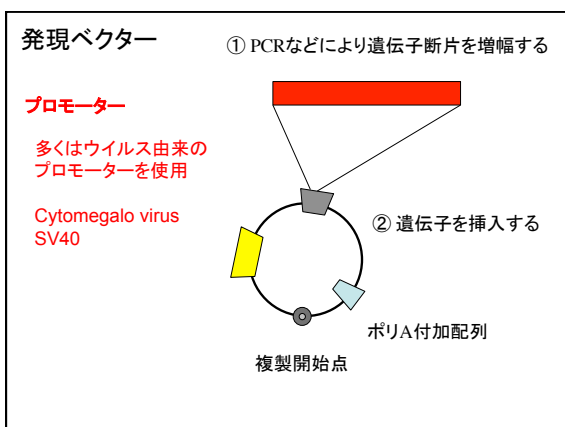
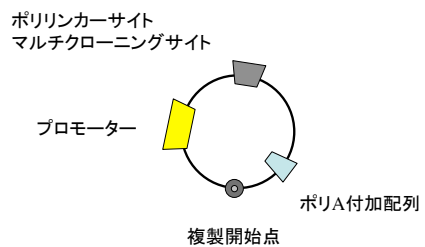
例2

ある酵素を発現させ、その酵素のX線構造を決定する





発現ベクター



タンパク質を発現させる宿主(ホスト)とタンパク質修飾

大腸菌	タンパク質の翻訳後修飾は極めて少ない リン酸化×、糖鎖付加×
酵母	タンパク質の翻訳後修飾は少ない
昆虫細胞	糖鎖が短い
ほ乳細胞	生体内と同じ修飾が期待できる
無細胞系	コムギ胚芽等の利用

タンパク質を発現させる宿主(ホスト)と利点

大腸菌	操作が簡単、早い。 タンパク質が大量に得られる
酵母	比較的手軽、強固な細胞壁を破壊する必要がある
昆虫細胞	ウイルス(バキュロウイルス)を用いる 糖鎖が短く均一である。
ほ乳細胞	時間がかかる、高価、少量
無細胞系	試験管内で合成できる

① 受容体発現細胞、組織からRNAを調整する

② 逆転写酵素をもちいたPCR反応(RT-PCR)で受容体cDNAを増幅する

③ 増幅したcDNAを発現ベクターに挿入する

④ 発現ベクターを細胞あるいは動物個体に導入し、目的タンパク質を安定に発現する細胞、動物個体を選別する

受容体の場合

⑤ 受容体発現細胞を用い、作動薬としての活性を有する化合物を探査する

① 受容体発現細胞、組織からRNAを調整する

② 逆転写酵素をもちいたPCR反応(RT-PCR)で受容体cDNAを増幅する

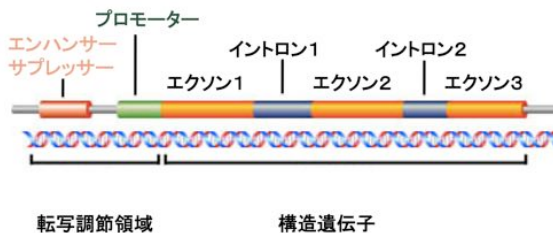
③ 増幅したcDNAを発現ベクターに挿入する

④ 発現ベクターを細胞あるいは動物個体に導入し、目的タンパク質を安定に発現する細胞、動物個体を選別する

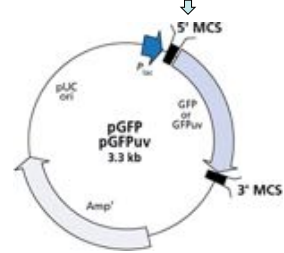
酵素の場合

⑤ 酵素発現細胞、動物からリコンビナント酵素を精製する
さらにタンパク質結晶を調整し、X線構造解析を行う

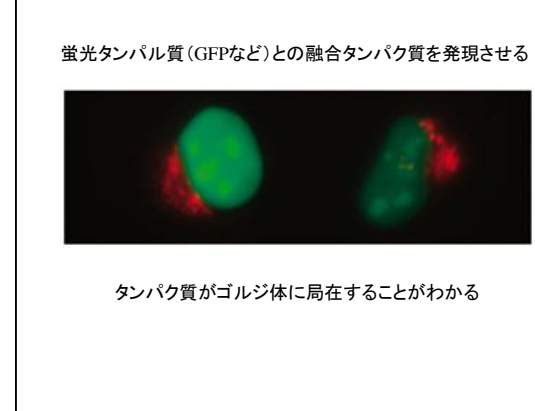
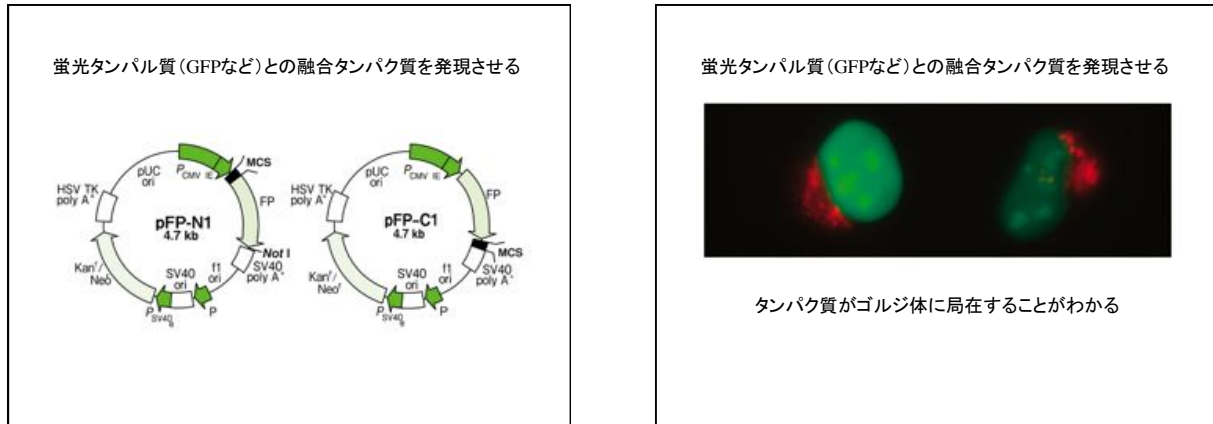
遺伝子の構造



ここに遺伝子のプロモーターを挿入する



細胞や動物個体に遺伝子を導入



- DNA分子の変性と再生を利用した手法**
- ノーザンブロッティング mRNAを検出
 - サザンブロッティング DNAを検出
 - in situ*ハイブリダイゼーション mRNAやDNAを検出
顕微鏡技術と組み合わせる

RNA i

(RNA interference)

RNAiとは？

RNAi(RNA interference)とは、ある遺伝子と相同な、センスRNAとアンチセンスRNAからなる二本鎖RNA(double-strand RNA; dsRNA)が、その遺伝子の転写産物(mRNA)の相同部分を破壊する、という現象で、1998年に線虫を使用した実験によりはじめて提唱されました。

(Fire A, et al: Nature(1998)391:806-811)

RNAiは発見された当初、哺乳動物細胞においては、約30bp以上のdsRNAを細胞内へ導入すると、細胞が本来持っている免疫機能によりアボトーシスを起こし、細胞が死んでしまう為、哺乳動物細胞での利用は困難と思われていました。

しかし、2000年に、マウス初期胚や哺乳動物培養細胞でもRNAiが起こり得ることが示され、RNAiの誘導機構そのものは、哺乳動物細胞にも存在することがわかつてきました。

(Ui-Tai K, et al: FEBS Lett(2000) 479: 79-82)

2001年、さらに短い(21~23bp)のdsRNA(small interfering RNA; siRNA)が、哺乳動物細胞系でも細胞毒性を示さずにRNAiを誘導できることが示されました。(Elbashir SM, et al: Nature(2001)

現在は27bpのsiRNAの方がより効果的であるとの発表もされています。

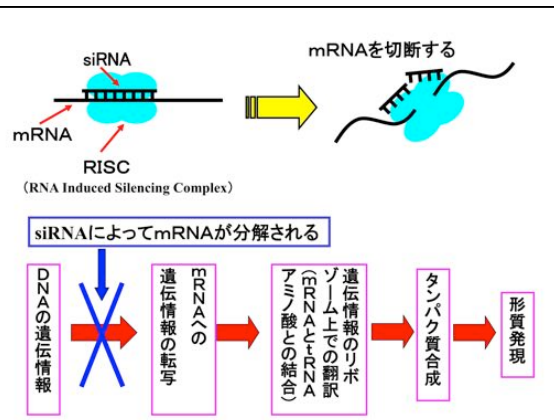
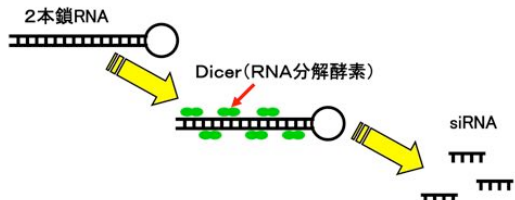
従来の遺伝子機能解析は、ある表現型に関わる遺伝子をクローニングし、塩基配列を調べる、といった手順で進められていました。しかし、ヒトを含めたいくつかの生物でその全塩基配列が決定されている現在(ポストゲノム時代)、決定された遺伝子の塩基配列からその機能を解析するようになってきました。

RNAiは配列が知られている標的遺伝子のmRNAをノックアウト(破壊)することによりその遺伝子の機能を探査することができる画期的な方法です。

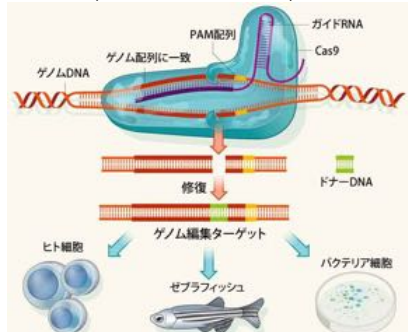
RNAi法のその他の利点として、低濃度でも効果が期待でき、mRNAを破壊するだけである為、ゲノム遺伝子には影響を及ぼさない、ことが挙げられます。

メカニズム

2本鎖RNA (double-stranded RNA:dsRNA) が引き金となってそのアンチセンス鎖<siRNA (small interfering RNA)>と相補的な配列のmRNAが分解され、それにより遺伝子の発現(形質発現)が抑制される現象のことです。



新しい変異体作成技術(ゲノム編集技術) (CRISPRとTALEN)



タンパク質の機能と名前(総称)を覚えよう

酵素 キナーゼ、プロテアーゼ、 スクレアーゼ、グリコシダーゼ	貯蔵(栄養)タンパク質 カゼイン、オバルミン
構造タンパク質 コラーゲン、フィブロネクチン、 エラスタン、ケラチン、 アクチン、チューブリン	受容体 GPCR、 チロシンキナーゼ型受容体
輸送タンパク質 アルブミン、ヘモグロビン	シグナルタンパク質 ホルモン、成長因子、毒素
モータータンパク質 ミオシン、ダイニン、キネシン	遺伝子制御タンパク質 転写因子
	特別なタンパク質 抗体、T細胞受容体、接着因子

細胞内構造(細胞骨格)タンパク質

	構成タンパク質	安定性	モーター タンパク質
アクチン	アクチン	動的	ミオシン
微小管	チューブリン	動的	ダイニン キネシン
中間径 フィラメント	ケラチン ビメンチン ニューロフィラメント 核ラミン	静的	無